

Обзор существующих методов оптимизации технологии трассировки лучей

И.С. Черемисенов
cheremisenov96@gmail.com

Государственное бюджетное общеобразовательное учреждение города Москвы «Лицей «Вторая школа»

Проблема вычислений затратных по производительности алгоритмов в режиме реального времени вынуждает разработчиков программного обеспечения задумываться о поисках механизмов по оптимизации данных вычислений. В данной статье проведен обзор некоторых существующих методов оптимизации технологии трассировки лучей.

Ключевые слова: алгоритм, модель, оптимизация, трассировка лучей.

Review of existing methods of optimization of ray tracing technology

I.S. Cheremisenov
State budgetary educational institution of the city of Moscow «Lyceum «School No. 2»

The problem of computing performance-intensive algorithms in real time forces software developers to think about finding mechanisms to optimize these calculations. This article reviews some of the existing techniques for optimizing ray tracing technology.

Keywords: algorithm, model, optimization, ray tracing.

1. Введение

С момента появления алгоритмов расчета отражения и преломления света (ray tracing, трассировка лучей) их вычисление обычно рассматривалось как статический процесс и представляло собой весьма трудоемкий способ получения красивых изображений. В последнее время появились возможности расчета лучей в интерактивном режиме, даже при использовании довольно доступного аппаратного обеспечения. С учетом повышения эффективности таких расчетов и благодаря преимуществам современных разработок в области микропроцессоров, в частности, таких как технология Hyper-Threading и многоядерных процессоров, можно ожидать, что в ближайшем будущем эти технологии будут применяться как в интерактивных приложениях, так и в приложениях реального времени.

2. Метод «Трассировки лучей»

Одним из методов визуализации (рендеринга) в компьютерной графике является метод «бросания лучей» (ray casting), при котором растровое изображение строится на основе замеров пересечения лучей с визуализируемой поверхностью в пространстве. Этот термин впервые использовался в компьютерной графике в 1982 году в работе Скотта Рота [1], который применил его для описания метода рендеринга CSG-моделей.

Первый алгоритм рейкастинга, используемый для рендеринга, был представлен Артуром Аппелем в

1968 году [1]. В основе рейкастинга лежит идея генерировать лучи из точки наблюдения сцены, один луч на пиксель, и находить самый близкий объект, который блокирует путь распространения этого луча. Используя свойства материала и эффект света в сцене, алгоритм рейкастинга может определить затенение данного объекта [1].

В реальной природе источник света испускает луч света, который, проходя через пространство, пересекает какую-либо преграду, которая прерывает распространение этого светового луча. В любой точке пути с лучом света может случиться любая комбинация трех процессов: поглощение, отражение и преломление. Некоторые из лучей, сгенерированных источником света, распространяются по пространству и в конечном счете попадают на область просмотра [1].

Алгоритм трассировки лучей (ray tracing) применяет рейкастинг для расчета первичных пересечений луча с объектами сцены и дополняет его генерацией дополнительных лучей для формирования световых бликов, теней, отражений, тем самым повышая уровень фотореалистичности изображения [1].

Для построения первичного луча и определения первых пересечений с объектами сцены вводятся понятия источника лучей и плоской области обзора. В основе модели лучевого эмиттера лежит механизм упрощенной камеры-обскуры (рис. 1) с бесконечно малым отверстием, через которое свет проникает на область обзора [1].

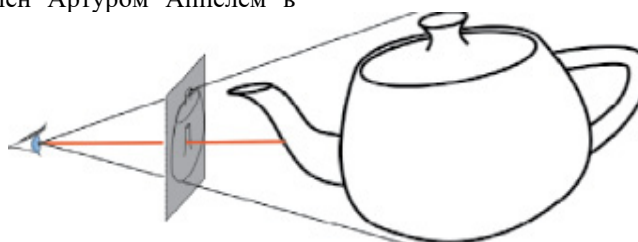


Рис. 1. Принцип построения изображения. Механизм упрощенной камеры-обскуры [1]

Достоинством данного алгоритма является слабая зависимость вычислительной сложности метода от

сложности сцены, а также есть возможность распараллеливания вычисления. Например, можно параллельно вычислять несколько лучей или разделять экран на части [2].

Главным недостатком метода является требование к высокой производительности системы. Для рендеринга нового изображения требуется выполнить вычисления для каждого луча заново [2].

3. Технология CUDA

Технология CUDA появилась в 2006 году и представляет из себя программно-аппаратный комплекс производства компании Nvidia, позволяющий эффективно писать программы под графические адаптеры [3]. С 2006 года компания Nvidia обещает, что все графические адаптеры их производства независимо от серии будут иметь сходную архитектуру, которая полностью поддерживает программную часть технологии CUDA. Программная часть, в свою очередь, содержит в себе всё необходимое для разработки программы: расширения языка C, компилятор, API для работы с графическими адаптерами и набор библиотек [3].

Общее устройство графического адаптера схематически представлено на рис. 2 [3].

ном» уровне

Рассмотрим устройство графических адаптеров, основанных на различных микросхемах компании NVIDIA, более подробно и сравним, чем они отличаются, а в чем они схожи. Общее устройство графического адаптера схематически представлено на рис. 2 [3].

Как показано на рисунках 2-4, произошли как количественные изменения (увеличение количества потоковых мультимикропроцессоров SM в блоке выборки текстур TPC), так и качественные (в семействе G200 в потоковом мультимикропроцессоре SM появляется блок для расчета с двойной точностью). Одинаковыми же остаются [3]:

1. 8 потоковых процессоров SP (Streaming Processor) в мультимикропроцессоре SM (Streaming Multiprocessor).
2. блок SFU (Super Function Unit) для расчета сложных математических функций (экспонента, корень и т. д.).
3. 32 КБ регистрового файла на SM.
4. 16 КБ разделяемой (shared) памяти на SM.
5. Кэш инструкций.
6. Кэш констант.
7. Блок выборки инструкций.

3.1. Графический адаптер на «аппарат-

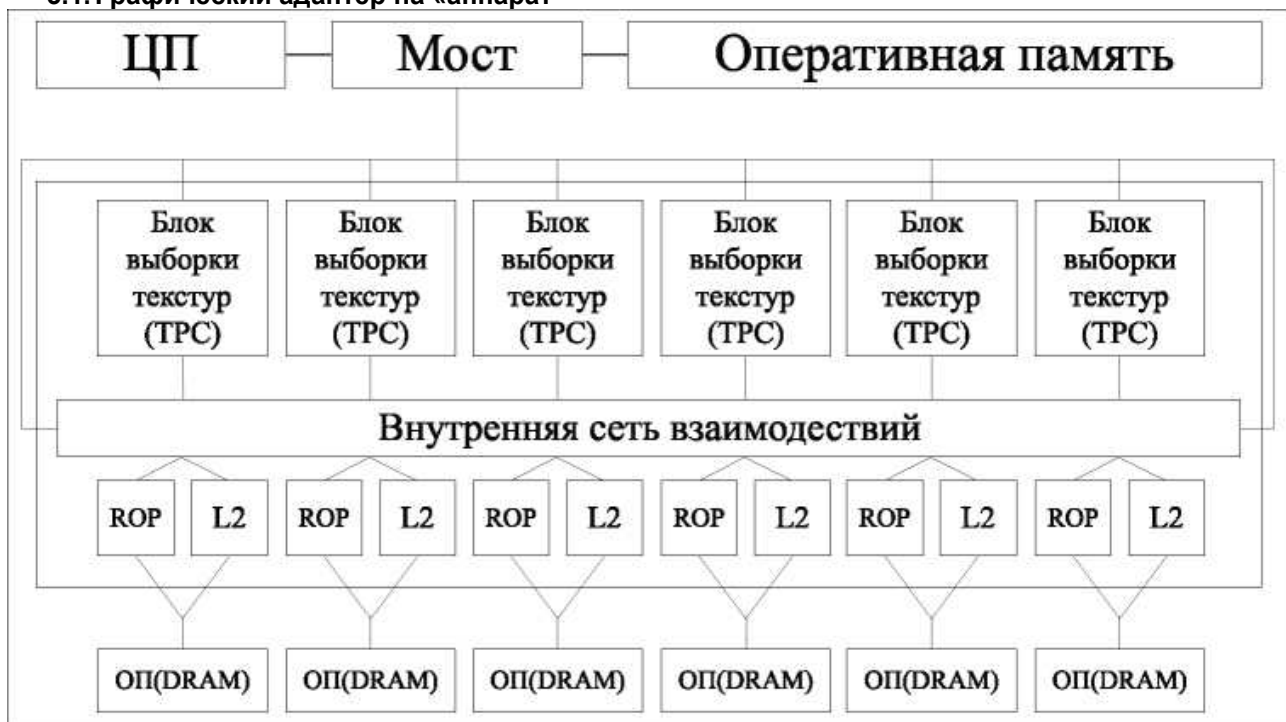


Рис. 2. Схематическое изображение устройства графического адаптера [3]

Все вычислительные ядра на видеокарте объединены в независимые блоки TPC (Texture process cluster), количество которых определяется как принадлежностью к тому или иному семейству процессоров (G80 - максимум 8, G200 - максимум 10), так и конкретной моделью (GeForce 220GT - 2, GeForce 275 - 10). Как от видеокарты к видеокарте могут меняться количество TPC, так же может меняться тип и количество микросхем памяти DRAM и, соответственно,

общий объем оперативной памяти. Микросхемы памяти имеют кэш второго уровня (L2) и конвейер растровых операций (ROP - Raster Operations Pipeline). Они объединены между собой коммуникационной сетью, в которую также подключены все TPC. Любая дискретная видеокарта взаимодействует с центральным процессором через мост, который может быть как интегрированным в CPU (Intel Core i7), так и вынесенным в чипсет (Intel Core 2 Duo) [3].

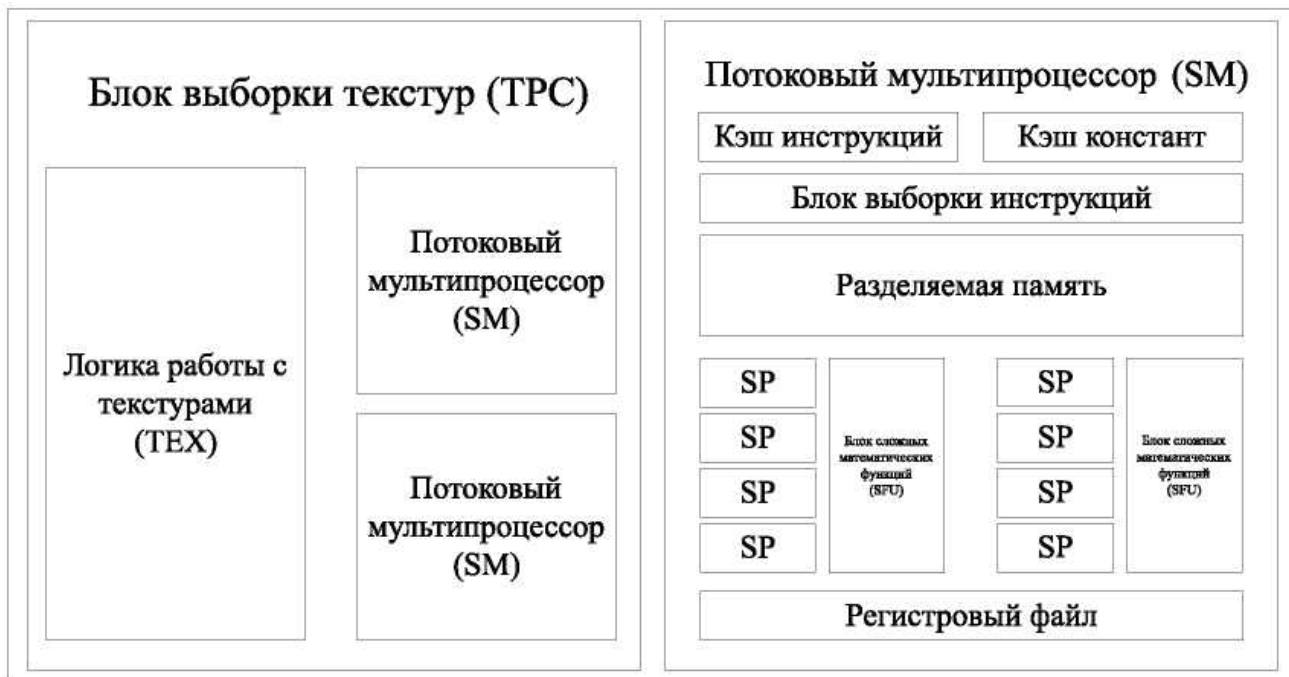


Рис. 3. Схематическое изображение устройства TPC и SM чипа G80

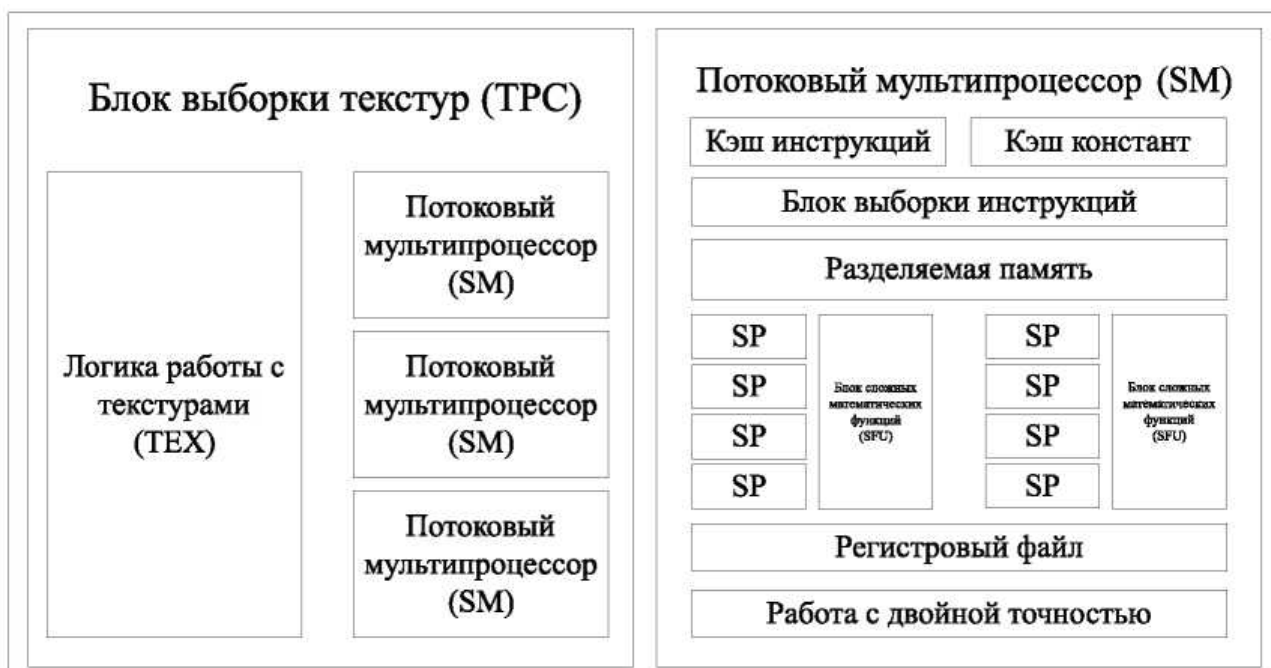


Рис. 4. Схематическое изображение устройства TPC и SM чипа G200

3.2. Семейство процессоров NVIDIA Fermi

Ключевыми архитектурными особенностями Fermi (рис. 5) являются:

1. Третье поколение потокового мультипроцессора (SM):
 - потоковых процессора на SM, что в четыре раза больше, чем у G200;
 - 8-кратный прирост производительности в операциях с плавающей точкой (FP) с двойной точностью по сравнению с графическими адаптерами предыдущего поколения;
 - 2 блока выборки инструкций (WS - Warp Scheduler) на SM вместо одного;

2. Второе поколение набора инструкций параллельного выполнения потоков (Parallel Thread Execution, PTX 2.0):
 - унифицированное адресное пространство с полной поддержкой C++;
 - полная поддержка вычислений с плавающей точкой с 32- и 64-битной точностью в соответствии со стандартом IEEE 754-2008 [4];
 - поддержка 64-битной адресации;
 - улучшенная производительность предсказаний

обращений к памяти.

3. Улучшенная подсистема памяти:
 - иерархия NVIDIA ParallelDataCache с конфигурируемым L1-кэшем и общим L2-кэшем;
 - поддержка памяти с кодом коррекции ошибок ECC (впервые на GPU);
 - существенно увеличенная производительность

операций чтения и записи в память.

4. Система управления вычислительными потоками NVIDIA GigaThread версии 3.0:
 - 10-кратное по сравнению с G200 ускорение процедуры контекстного переключения;
 - одновременное выполнение нескольких потоков вычислений.

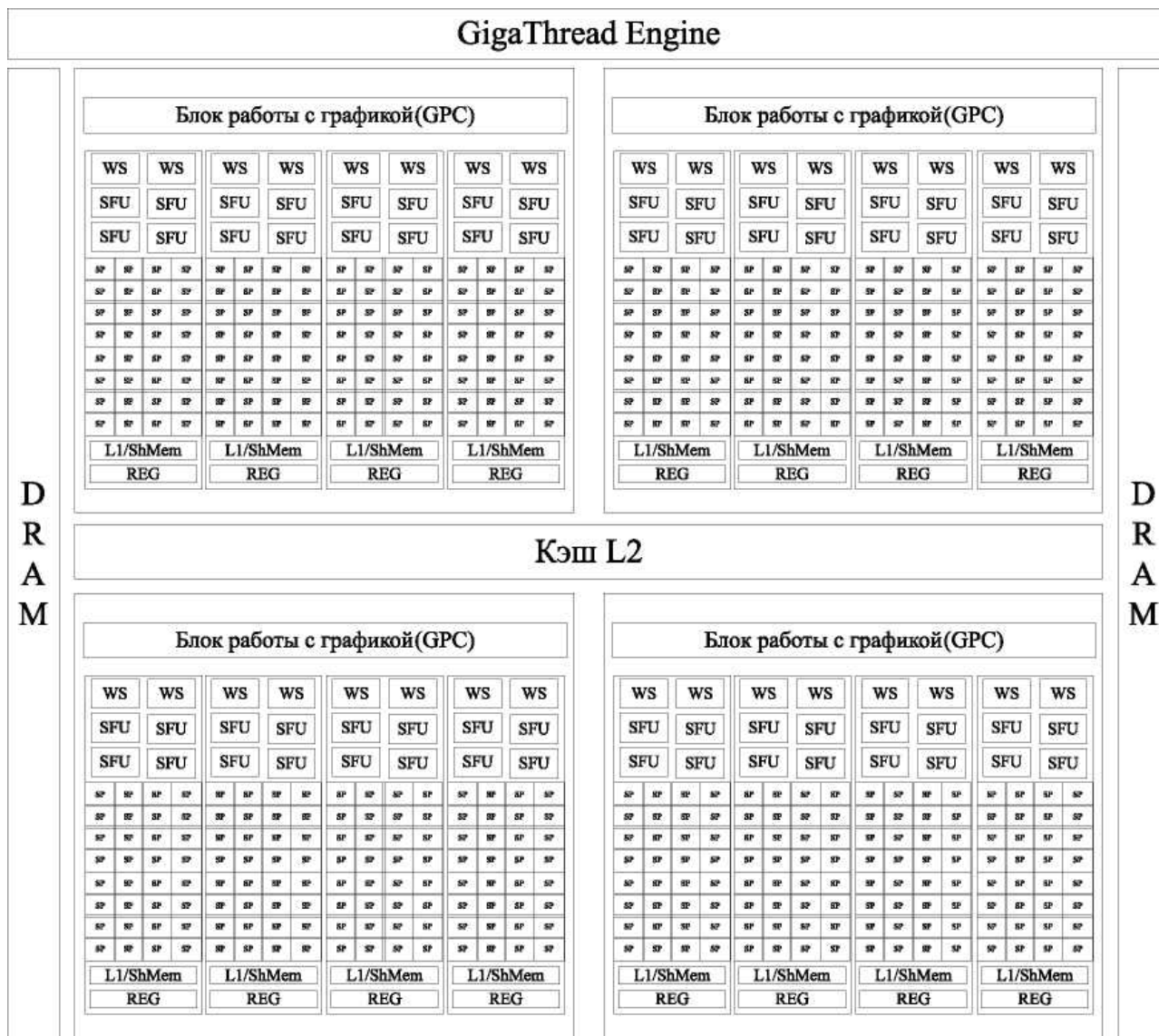


Рис. 5. Схематическое изображение устройства графического адаптера на чипе Fermi

В таблице 1 представлено сравнение различных чипов графических адаптеров от Nvidia

Таблица 1. Сравнение различных чипов графических адаптеров от NVidia

Архитектура	G80	GT200	Fermi
Год вывода на рынок	2006	2008	2009
Число транзисторов, млн.	681	1400	3000
Количество потоковых процессоров (CUDA-ядер)	128	240	512
Объем разделяемой памяти в расчете на SM, КБ	16	16	48 или 16 (конфигурируется)
Объем кэш-памяти первого уровня в расчете на SM, КБ	0	0	16 или 48 (конфигурируется)
Объем кэш-памяти второго уровня, КБ	0	0	768
Контроль ошибок ECC	Нет	нет	есть

Возможности GPU обозначаются при помощи количественных характеристик скорости выполнения определенных операций на графическом процессоре

(ComputeCapability), старшая цифра которой соответствует версии архитектуры, а младшая - небольшим изменениям внутри архитектуры. На данный момент

существуют 1.0, 1.1, 1.2, 1.3, 2.0 ComputeCapability. В таблице 2 приведены количественные характеристики скорости выполнения определенных операций на графическом процессоре (ComputeCapability) для различных графических адаптеров

Таблица 2. ComputeCapability для различных графических адаптеров

GPU	ComputeCapability
GeForce 8800GTX	1.0
GeForce 9800GTX	1.1
GeForce 210	1.2
GeForce 275GTX	1.3
Tesla C2050	2.0

4. Оптимизация трассировки лучей в октантных деревьях

Вопрос повышения эффективности рендеринга воксельных моделей продолжает сегодня оставаться актуальным, несмотря на достигнутый прогресс в последнее время в этой области. Поиски путей ускорения обработки графических данных ведутся как в направлении совершенствования пространственных структур данных и оптимизации алгоритмических решений, так и в направлении использования существующих аппаратных возможностей и многопроцессорных вычислительных архитектур. Много внимания разными исследователями было уделено вопросам эффективной трассировки октантных деревьев, которые широко применяются в компьютерной графике. В известных алгоритмах этого типа трассировка выполняется сверху вниз (от корневого узла дерева) [5] с реализацией рекурсивности, или снизу вверх [5] с поиском решения в окрестности последнего найденного граничного вокселя. При этом наибольший эффект достигается при реализации дискретной трассировки [4]. В алгоритме отслеживания лучей в октантных деревьях, реализованном авторами в рамках системы вексельной графики, алгоритмическая оптимизация обеспечивается, как за счет реализации дискретной трассировки, целочисленной арифметики и использования табличных геометрических решений, так и за счет реализации когерентности октантных траекторий пространственно близких лучей. Оптимизация последнего типа существенно отличается от известного аналога [4], где предлагается использование когерентности траекторий в BSP структуре. В работе получены оценки эффективности предлагаемой оптимизации алгоритма. Также приведены сравнительные оценки алгоритмов трассировки и прямого рендеринга октантных сцен.

4.1. Октантная структура данных

Поддерживаются две формы структуры. Основная (назовем ее структура «объем») содержит: промежуточные узлы, внутренние воксели, внутренние термы, граничные воксели, граничные термы. Она обеспечивает выполнение булевых операций и визуализацию. Структура «оболочка» - без внутренних термов и внутренних вокселей - только для визуализации. Термы обозначают октанты, полностью принадлежащие объекту. У граничных термов одна грань или несколько принадлежат граням бокса сцены. Структура «оболочка» требует существенно меньше памяти, чем основная. Во внешней памяти данные хранятся в сжатом виде. Например, для октантного дерева глубиной 8 сцены «изоповерхность температуры» основная структура в оперативной памяти занимает 22 Мб, в сжатом виде во внешней памяти 1.42 Мб, структура «оболочка», соответственно, 12 Мб и 1.16 Мб. А для сцены «город» с глубиной дерева 9 структура «оболочка» в оперативной памяти занимает 22 Мб и в сжатом виде - 3.59 Мб. Значения нормалей для граничных вокселей при этом заданы плавающей арифметикой. Возможно хранение нормалей в целочисленном виде, тогда объем требуемой памяти уменьшается примерно на 30% [4].

Поддерживаются два режима визуализации: с предварительно вычисленной диффузной освещенностью (используется, когда положение источников освещения не меняется при просмотре с разных точек наблюдения) и с вычислением закраски в процессе рендеринга (по хранящимся в узлах-вокселях нормалям к поверхности объекта) [4].

4.2. Дискретная трассировка лучей

В алгоритме трассировки лучей в октантных деревьях существенно используются уже известные решения, к которым можно отнести: рекурсивную обработку дерева top-down с горизонтальным движением по дереву (анализ пересекаемых подбоксов в рамках родительского бокса) и вертикальным (спуск от текущего бокса к пересекаемым подбоксам); выбор «главных направлений» при анализе пересечений подбоксов лучом и рекурсивное упрощенное вычисление «средних точек» по точкам входа, выхода луча в боксе; реализация пространственной когерентности с использованием предварительно вычисленной таблицы геометрических решений; переход к целочисленной арифметике для ускорения вычислений. В данном случае рассматривается режим ray casting. Вместе с тем алгоритм поиска упорядоченного списка пересекаемых подбоксов, построенный на декомпозиции пространственной задачи в «плоские», отличается от известных аналогов [4].

5. Заключение

В дальнейшем планируется рассмотреть другие методы оптимизации технологии трассировки лучей. Планируется рассмотреть варианты объединения существующих методов и создание общего методического подхода по оптимизации технологии трассировки.

Благодарность

Работа выполнена при финансовой поддержке РФФИ в рамках научного проекта № 19-07-00455.

Библиографический список

- [1] Ульянов А.Ю., Котюжанский Л.А., Рыжкова Н.Г. Метод трассировки лучей как основная технология фотореалистичного рендеринга // Фундаментальные исследования. – 2015. – № 11-6. – С. 1124-1128; URL: <http://www.fundamental->

research.ru/ru/article/view?id=39706 (дата обращения: 25.04.2020).

- [2] Городничев М.Г., Гематудинов Р.А., Кухаренко А.М. О некоторых методах визуализации динамических 3D моделей // «Экономика и качество систем связи» 1/2018, с. 18-29
- [3] Казённый А.М. Основы технологии CUDA // Компьютерные исследования и моделирование 2010 Т. 2 № 3 С. 295-308.
- [4] IEEE Standard for Floating-Point Arithmetic: IEEE Computer Society Sponsored by the Microprocessor Standards Committee. - IEEE Std 754-2008 (Revision of IEEE Std 754-1985). - 70 p. <https://irem.univ-reunion.fr/IMG/pdf/ieee-754-2008.pdf>
- [5] В.А. Бобков, С.В. Мельман, Ю.И. Роньшин. Оптимизация трассировки лучей в октантных деревьях // International Conference Graphicon 2005, Novosibirsk Akademgorodok, Russia, <http://www.graphicon.ru/>.